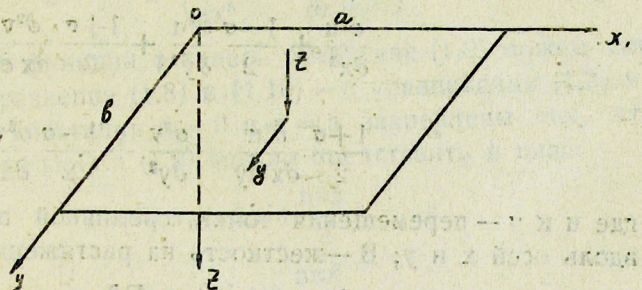


Т. Т. ХАЧАТУРЯН

## О НЕКОТОРЫХ АНАЛОГИЯХ МЕЖДУ ЗАДАЧАМИ ИЗГИБА И ПЛОСКО-НАПРЯЖЕННЫМ СОСТОЯНИЕМ ПРЯМОУГОЛЬНОЙ ПЛАСТИНКИ

В данной статье устанавливаются некоторые аналогии между задачами изгиба и плоско-напряженным состоянием прямоугольной пластиинки. Показывается, что использование этих аналогий позволяет составлять решение задач об изгибе пластиинки, когда соответствующие задачи о плоско-напряженном состоянии пластиинки решены, или же наоборот.

1. Рассмотрим прямоугольную пластиинку со сторонами  $a$  и  $b$ , которая на краях  $x = 0$ ,  $x = a$  и  $y = 0$ ,  $y = b$  имеет опоры, обеспечивающие ее неподвижность как в своей плоскости, так и в направлении  $Z$ . Пусть на пластиинку действуют силы, имеющие компоненты  $Z$  и  $Y$ . Силы  $Z$  вызывают изгиб пластиинки, а силы  $Y$  — плоско-напряженное состояние.



Черт. 1.

Изгиб пластиинки описывается дифференциальным уравнением:

$$\nabla^4 w = \frac{Z}{D} \quad 1.1$$

где  $w$  — перемещение точки срединной плоскости в направление оси  $Z$ , а  $D$  — цилиндрическая жесткость

$$D = \frac{E \delta^3}{12(1-\sigma^2)} \quad 1.2$$

$E$  — модуль Юнга,  $\sigma$  — коэффициент Пуассона,  $\delta$  — толщина пластиинки

Изгибающие и крутящий моменты определяются через  $w$  формулами:

$$M_1 = -D \left( \frac{\partial^2 w}{\partial x^2} + \sigma \frac{\partial^2 w}{\partial y^2} \right),$$

$$M_2 = -D \left( \frac{\partial^2 w}{\partial y^2} + \sigma \frac{\partial^2 w}{\partial x^2} \right),$$

$$H = -D(1-\sigma) \frac{\partial^2 w}{\partial x \partial y}.$$

1.3

Опорные реакции на краях пластинки  $x=0$ ,  $x=a$  и  $y=0$ ,  $y=b$  определяются так:

$$Q_1 = -D \left[ \frac{\partial^3 w}{\partial x^3} + (2-\sigma) \frac{\partial^3 w}{\partial x \partial y^2} \right],$$

$$Q_2 = -D \left[ \frac{\partial^3 w}{\partial y^3} + (2-\sigma) \frac{\partial^3 w}{\partial y \partial x^2} \right].$$

Задача об изгибе пластинки приводится к интегрированию уравнения (1.1), после чего моменты и реакции опор определяются формулами (1.3) и (1.4).

Плоско-напряженное состояние пластинки описывается следующими дифференциальными уравнениями

$$\frac{\partial^2 u}{\partial x^2} + \frac{1-\sigma}{2} \frac{\partial^2 u}{\partial y^2} + \frac{1+\sigma}{2} \frac{\partial^2 v}{\partial x \partial y} = 0,$$

1.5

$$\frac{1+\sigma}{2} \frac{\partial^2 u}{\partial x \partial y} + \frac{\partial^2 v}{\partial y^2} + \frac{1-\sigma}{2} \frac{\partial^2 v}{\partial x^2} = -\frac{y}{B},$$

где  $u$  и  $v$  — перемещения точки срединной поверхности пластинки вдоль осей  $x$  и  $y$ ;  $B$  — жесткость на растяжение

$$B = \frac{E \delta}{1-\sigma^2}.$$

1.6

Растягивающие усилия  $T_1$ ,  $T_2$  и сдвигающее усилие  $S$  определяются через  $u$  и  $v$  формулами:

$$T_1 = B \left( \frac{\partial u}{\partial x} + \sigma \frac{\partial v}{\partial y} \right),$$

$$T_2 = B \left( \frac{\partial v}{\partial y} + \sigma \frac{\partial u}{\partial x} \right),$$

1.7

$$S = \frac{1-\sigma}{2} B \left( \frac{\partial u}{\partial y} + \sigma \frac{\partial v}{\partial x} \right).$$

Задачи о плоско-напряженном состоянии пластинки приводятся к интегрированию двух уравнений (1.5), после чего усилия найдутся формулами (1.7).

Преобразуем уравнения (1.5) и (1.7) плоско-напряженного состояния так, чтобы они были записаны по той же схеме, что и уравнения изгиба пластиинки. Для этого введем вспомогательную функцию  $\varphi$ , через которую перемещения  $u$  и  $v$  определяются так:

$$u = \frac{1+\sigma}{1-\sigma} \frac{\partial^2 \varphi}{\partial x \partial y}, \quad 1.8$$

$$v = - \frac{\partial^2 \varphi}{\partial y^2} - \frac{2}{1-\sigma} \frac{\partial^2 \varphi}{\partial x^2}.$$

Подставив (1.8) в (1.5), убедимся, что первое из уравнений (1.5) удовлетворяется, а второе приведется к виду:

$$\nabla^4 \varphi = \frac{y}{B}. \quad 1.9$$

На основании (1.8) усилия (1.7) будут определяться через  $\varphi$  формулами

$$T_1 = -B \left( \sigma \frac{\partial^3 \varphi}{\partial y^3} - \frac{\partial^3 \varphi}{\partial y \partial x^2} \right),$$

$$T_2 = -B \left[ \frac{\partial^3 \varphi}{\partial y^3} + (2+\sigma) \frac{\partial^3 \varphi}{\partial y \partial x^2} \right], \quad 1.10$$

$$S = -B \left( \frac{\partial^3 \varphi}{\partial x^3} - \sigma \frac{\partial^3 \varphi}{\partial x \partial y^2} \right).$$

С введением функции  $\varphi$  теперь уравнение (1.9) можем сопоставить с (1.1), а уравнения (1.8) и (1.10) — с уравнениями (1.3) и (1.4).

Пусть края пластиинки  $x=0$  и  $x=a$  закреплены так, что интегралы уравнений (1.1) и (1.9) можно представить в виде:

$$w = \sum w_n(y) \sin \frac{n\pi x}{a}, \quad 1.11$$

$$\varphi = \sum \varphi_n(y) \sin \frac{n\pi x}{a}, \quad 1.12$$

или в виде:

$$w = \sum w_n(y) \cos \frac{n\pi x}{a}, \quad 1.11'$$

$$\varphi = \sum \varphi_n(y) \cos \frac{n\pi x}{a}. \quad 1.12'$$

В обоих этих случаях можно показать наличие аналогий между задачами изгиба и плоско-напряженного состояния пластиинки.

Остановимся на случае (1.11), (1.12).

Разложим правые части уравнений (1.1) и (1.9) в ряды:

$$Z = \sum Z_n(y) \sin \frac{n\pi x}{a}, \quad 1.13$$

$$Y = \sum Y_n(y) \sin \frac{n\pi x}{a}, \quad 1.14$$

где:

$$Z_n(y) = \frac{2}{a} \int_0^a Z \sin \frac{n\pi x}{a} dx, \quad 1.15$$

$$Y_n(y) = \frac{2}{a} \int_0^a Y \sin \frac{n\pi x}{a} dx. \quad 1.16$$

Подставив (1.11) и (1.13), в (1.1), а (1.12) и (1.14) в (1.9), получим следующие обыкновенные дифференциальные уравнения для  $w_n(y)$  и  $\varphi_n(y)$

$$w_n^{IV} - 2 \frac{n^2 \pi^2}{a^2} w_n^{II} + \frac{n^4 \pi^4}{a^4} w_n = \frac{Z_n}{D}, \quad 1.17$$

$$\varphi_n^{IV} - 2 \frac{n^2 \pi^2}{a^2} \varphi_n^{II} + \frac{n^4 \pi^4}{a^4} \varphi_n = \frac{Y_n}{B}. \quad 1.18$$

Если подставим (1.11) в (1.3) и (1.4), а (1.12) в (1.8) и (1.10), то получим формулы, в которых усилия и перемещения будут выражены рядами синусов или косинусов аргумента  $\frac{n\pi x}{a}$ . Приведем здесь выражения коэффициентов разложения тех усилий и перемещений, которые нужны для интегрирования уравнений (1.17) и (1.18).

Получим  $M_{2n} = -D \left( w_n^{II} - \sigma \frac{n^2 \pi^2}{a^2} w_n \right)$ ,

$$Q_{2n} = -D \left[ w_n^{III} - (2 - \sigma) \frac{n^2 \pi^2}{a^2} w_n^I \right], \quad 1.19$$

$$\phi_n = w_n^I,$$

$$U_n = \frac{1 + \sigma}{1 - \sigma} \cdot \frac{n\pi}{a} \phi_n^I,$$

$$V_n = -\varphi_n^{II} + \frac{2}{1 - \sigma} \cdot \frac{n^2 \pi^2}{a^2} \varphi_n^I, \quad 1.20$$

$$T_{2n} = -B \left[ \varphi_n^{III} - (2 + \sigma) \frac{n^2 \pi^2}{a^2} \varphi_n^I \right],$$

$$S_n = B \left[ \frac{n^8 \pi^8}{a^8} \varphi_n + \sigma \frac{n\pi}{a} \varphi_n^{II} \right]$$

(штрихи над величинами означают производные по  $y$ ).

Для интегрирования уравнений (1.17) и (1.18) применим метод начальных параметров, предложенный акад. А. Н. Крыловым для расчета балки на упругом основании. Однако при построении спе-

циальных функций, являющихся частными интегралами однородного уравнения

$$\phi^{IV} - 2 \frac{\pi^2 \sigma^2}{a^2} \phi^{II} + \frac{\pi^4 \sigma^4}{a^4} \phi = 0, \quad 1.21$$

мы будем пользоваться приемом, изложенным в нашей работе [1]. В качестве частных решений уравнения (1.21) мы примем следующие основные функции.

$$\begin{aligned}\phi_1 &= \operatorname{ch} z + \frac{z}{2} \operatorname{sh} z, \\ \phi_2 &= \frac{1}{2} (\operatorname{sh} z + z \operatorname{ch} z), \\ \phi_3 &= \frac{z}{2} \operatorname{sh} z, \\ \phi_4 &= \frac{1}{2} (z \operatorname{ch} z - \operatorname{sh} z),\end{aligned} \quad 1.22$$

где

$$z = \frac{\pi \sigma y}{a}. \quad 1.23$$

Между функциями (1.22) имеются зависимости:

$$\frac{d\phi_1}{dz} = 2\phi_2 - \phi_4; \quad \frac{d\phi_2}{dz} = \phi_1; \quad \frac{d\phi_3}{dz} = \phi_2; \quad \frac{d\phi_4}{dz} = \phi_3. \quad 1.24$$

При  $z = 0$  (т. е. при  $y = 0$ ) эти функции принимают значения

$$\phi_1 = 1; \quad \phi_2 = \phi_3 = \phi_4 = 0. \quad 1.25$$

Общие интегралы уравнений (1.17) и (1.18) при  $Z_n = Y_n = 0$  можем записать так:

$$W_n = A_1 \phi_1 + A_2 \phi_2 + A_3 \phi_3 + A_4 \phi_4, \quad 1.26$$

$$\varphi_n = B_1 \phi_1 + B_2 \phi_2 + B_3 \phi_3 + B_4 \phi_4. \quad 1.27$$

Подставив (1.26) в (1.19) и (1.27) в (1.20), используя при этом (1.24) и (1.25), можем определить коэффициенты  $A_i$  через  $W_n$ ,  $\varphi_n$ ,  $M_{2n}$ ,  $Q_{2n}$  при  $y = 0$ , и коэффициенты  $B_i$  через  $U_n$ ,  $V_n$ ,  $T_{2n}$ ,  $S_n$  при  $y = 0$ . Определив таким образом коэффициенты  $A_i$  и  $B_i$ , получим следующие выражения для интегралов (1.26) и (1.27).

$$\begin{aligned}W_n &= W_{no} [\phi_1 - (2 - \sigma)\phi_3] + \varphi_{no} \cdot \frac{a}{\pi} (\phi_2 - \sigma\phi_4) - \\ &\quad - Q_{2no} \cdot \frac{1}{D} \cdot \frac{a^3}{\pi^3} \phi_4 - M_{2no} \cdot \frac{1}{D} \cdot \frac{a^3}{\pi^3} \phi_3,\end{aligned} \quad 1.28$$

$$\begin{aligned}\varphi_n &= U_{no} \frac{1 - \sigma}{1 + \sigma} \frac{a^3}{\pi^3} (\phi_2 + \sigma\phi_4) + V_{no} \cdot \frac{1 - \sigma}{1 + \sigma} \cdot \frac{a^3}{\pi^3} (\sigma\phi_1 - (1 + 26)\phi_3) + \\ &\quad + \frac{S_{no}}{B} \cdot \frac{1}{1 + \sigma} \cdot \frac{a^3}{\pi^3} [(1 - \sigma)\phi_1 + 26\phi_3] - \frac{T_{2no}}{B} \cdot \frac{a^3}{\pi^3} \cdot \phi_4.\end{aligned} \quad 1.29$$

Подставив (1.28) в (1.19) и (1.29) в (1.20), получим общие интегралы для коэффициентов разложения  $M_2$ ,  $Q_2$ ,  $\phi$ ,  $U$ ,  $V$ ,  $T_2$  и  $S$ . Ниже эти интегралы приведены в табличной форме, в основных таблицах № 1 и № 2. Коэффициенты разложения других расчетных величин, например  $M$ ,  $H$ ,  $T$  и т. д., а также некоторых производных коэффициентов разложения перемещений, приведены в дополнительных таблицах № 1 и № 2.

*Таблица № 1 (основная)*  
Общие решения задачи изгиба пластин

	$\frac{\pi}{a} M_{2n}$	$\frac{1}{\pi} Q_{2n}$	$\frac{\pi^3}{a^3} n^2 D W_{n0}$	$\frac{\pi^2}{a^2} n D \phi_{n0}$
$\frac{\pi^2}{a^2} n D \phi_n =$	$-\phi_2$	$-\phi_3$	$-\phi_4 + \sigma \phi_2$	$\phi_1 - \sigma \phi_3$
$\frac{\pi^3}{a^3} n^2 D W_n =$	$-\phi_3$	$-\phi_4$	$\phi_1 - (2 - \sigma) \phi_3$	$\phi_2 - \sigma \phi_4$
$\frac{1}{\pi} Q_{2n} =$	$-\phi_4 + \sigma \phi_2$	$\phi_1 - (2 - \sigma) \phi_3$	$(1 - \sigma)[(1 + \sigma)\phi_2 - 2\phi_3]$	$(1 - \sigma)^2 \phi_3$
$\frac{\pi}{a} M_{2n} =$	$\phi_1 - \sigma \phi_3$	$\phi_2 - \sigma \phi_4$	$(1 - \sigma)^2 \phi_3$	$(1 - \sigma)[(1 + \sigma)\phi_4 - 2\phi_2]$

*Таблица № 2 (основная)*  
Общие решения задачи о плоско-напряженном состоянии пластинки

	$-\frac{\pi \delta}{a} n E U_{n0}$	$\frac{\pi \delta}{a} n E V_{n0}$	$T_{2n}$	$S_{n0}$
$S_n =$	$-\phi_2$	$-\phi_3$	$-\phi_4 - \sigma \phi_2$	$\phi_1 + \sigma \phi_3$
$T_{2n} =$	$-\phi_3$	$-\phi_4$	$\phi_1 - (2 + \sigma) \phi_3$	$\phi_2 + \sigma \phi_4$
$-\frac{\pi \delta}{a} n E V_n =$	$-\phi_4 - \sigma \phi_2$	$\phi_1 - (2 + \sigma) \phi_3$	$(1 + \sigma)[(1 - \sigma)\phi_2 - 2\phi_4]$	$(1 + \sigma)^2 \phi_3$
$-\frac{\pi \delta}{a} n E U_n =$	$\phi_1 + \sigma \phi_3$	$\phi_2 + \sigma \phi_4$	$(1 + \sigma)^2 \phi_3$	$(1 + \sigma)[(1 - \sigma)\phi_4 - 2\phi_2]$

Как видно, размещение основных функций  $\phi_1$ ,  $\phi_2$ ,  $\phi_3$  и  $\phi_4$  в клетках обеих таблиц (как основных, так и дополнительных) одинаково, а сами таблицы симметричны (за исключением последних строк и столбцов дополнительных таблиц).

Характерным является то, что как основные таблицы, так и дополнительные таблицы отличаются друг от друга только знаком коэффициента Пуассона  $\sigma$ . Если изменим в одной из таблиц знак пе-

ред  $\sigma$ , то получим соответствующую другую таблицу. Это позволяет нам отметить наличие соотношений, устанавливающих аналогии между задачами изгиба пластинки и ее плоско-напряженным состоянием.

*Таблица № 1 (дополнительная)*  
Общие решения задачи изгиба пластин

	$\frac{1}{\pi} Q_{2n0}$	$-\frac{\pi}{a} M_{2n0}$	$\frac{\pi^3}{a^3} n D W_{n0}$	$\frac{\pi^2}{a^2} n D \psi_{n0}$
$-\frac{1}{1-\sigma} \cdot \frac{\pi}{a} H_n =$	$-\phi_3$	$\phi_2$	$-\phi_4 + \sigma \phi_2$	$\phi_1 - \sigma \phi_3$
$-\frac{\pi}{a} D W_n'' =$	$\phi_2$	$-\phi_1$	$\phi_3 - \sigma \phi_1$	$\phi_4 - (2 - \sigma) \phi_2$
$\frac{\pi}{a} M_{1n} =$	$-\phi_4 + \sigma \phi_2$	$\phi_3 - \sigma \phi_1$	$(1 - \sigma) [(1 + \sigma) \phi_1 - 2 \phi_3]$	$(1 - \sigma)^2 \phi_2$
$-\frac{1}{\pi} Q_{1n} =$	$\phi_4 - (2 + \sigma) \phi_2$	$-\phi_3 + (2 - \sigma) \phi_1$	$-(1 - \sigma)^2 \phi_1$	$(1 - \sigma) [(3 - \sigma) \phi_2 - 2 \phi_4]$

*Таблица № 2 (дополнительная)*  
Общие решения задачи о плоско-напряженном состоянии пластинки

	$\frac{\pi \delta}{a} n E V_{n0}$	$\frac{\pi \delta}{a} n E U_{n0}$	$T_{2n0}$	$S_{n0}$
$S_n =$	$-\phi_3$	$\phi_2$	$-\phi_4 - \sigma \phi_2$	$\phi_1 + \sigma \phi_3$
$T_{1n} =$	$\phi_2$	$-\phi_1$	$\phi_3 + \sigma \phi_1$	$\phi_4 - (2 + \sigma) \phi_2$
$\delta E V_n' =$	$-\phi_4 - \sigma \phi_2$	$\phi_3 - \sigma \phi_1$	$(1 + \sigma) [(1 - \sigma) \phi_1 - 2 \phi_3]$	$(1 + \sigma)^2 \phi_2$
$\frac{a}{\pi} \delta E U_n'' =$	$\phi_4 - (2 + \sigma) \phi_2$	$-\phi_3 + (2 + \sigma) \phi_1$	$-(1 + \sigma)^2 \phi_1$	$(1 + \sigma) [(3 + \sigma) \phi_2 - 2 \phi_4]$

Если граничные условия пластинки в обеих задачах на крае  $y=0$  таковы, что имеют место соотношения:

$$M_{2n0} = -\delta E \cdot n U_{n0}, \quad W_{n0} = \frac{a^3}{\pi^3 D} \cdot \frac{1}{\pi^2} T_{2n0},$$

1.30

$$Q_{2n0} = \frac{\pi \delta}{a} n^2 E V_{n0}, \quad \psi_{n0} = \frac{a^2}{\pi^2 D} \cdot \frac{1}{\pi} S_{n0},$$

то, изменяя знак числа Пуассона в общих интегралах одной задачи, получим общие интегралы другой задачи по следующим формулам:

$$H_n = -\frac{1-\sigma}{\pi} a S_n \quad S_n = -\frac{\pi}{1-\sigma} \cdot \frac{1}{a} H_n$$

$$W_n = \frac{a^3}{\pi^3 D} \cdot \frac{1}{n^2} T_{2n}, \quad T_{2n} = \frac{\pi^3 D}{a^3} \cdot n^2 w_n,$$

$$M_{2n} = -\delta E \cdot n \cdot U_n, \quad U_n = -\frac{1}{\delta E} \cdot \frac{1}{n} M_{2n}, \quad 1.31$$

$$Q_{2n} = \frac{\pi \delta}{a} E \cdot n^2 V_n, \quad V_n = \frac{a}{\pi \delta E} \cdot \frac{1}{n^2} Q_{2n},$$

$$M_{1n} = \frac{a}{\pi} \delta E \cdot V'_n, \quad T_{1n} = -\frac{\pi}{a} D w''_n,$$

$$Q_{1n} = -\frac{a}{\pi} \delta E \cdot n \cdot U''_n.$$

Соотношения (1.30) и (1.31) в некоторых случаях могут быть использованы для решения задач о плоско-напряженном состоянии прямоугольной пластинки; когда решены соответствующие задачи об изгибе, или же наоборот. Под соответствующими задачами следует понимать такие задачи, в которых краевые условия удовлетворяют равенствам (1.30), а перемещения и усилия в произвольной точке пластинки (в том числе внешние перемещения и нагрузки) удовлетворяют равенствам (1.31).

Аналогии между краевыми условиями обеих задач непосредственно следуют из (1.30)

Изгиб пластинки	Плоско-напряженное состояние пластинки
1. Край $y = \text{const}$ свободно оперт $M_2 = 0, w = 0$	1. Край $y = \text{const}$ закреплен так, что $U = 0, T_2 = 0$ (Условия Белзецкого—Файлона)
2. Край $y = \text{const}$ защемлен $w = 0, \frac{\partial w}{\partial y} = 0$	2. Край $y = \text{const}$ свободен $T_2 = 0, S = 0$
3 Край $y = \text{const}$ свободен $M_2 = 0, Q_2 = 0$	3. Край $y = \text{const}$ закреплен не подвижно $U = 0, V = 0$
4. Край $y = \text{const}$ не поворачивается, но может прогибаться $\psi = \frac{\partial w}{\partial y} = 0, Q_2 = 0$	4. Край $y = \text{const}$ закреплен так, что $S = 0, V = 0$ (Условия Рибьера)

2. Приведем пример, иллюстрирующий порядок пользования равенствами (1.31).

Рассмотрим прямоугольную пластинку (черт. 2), у которой на краях  $x=0$ ,  $x=a$  выполняются условия Файлона—Белзецкого, а на других краях  $y=\pm 0,5 \cdot b$

$$T_2 = p(x), S = 0 \text{ при } y = \frac{b}{2} \quad 2.1$$

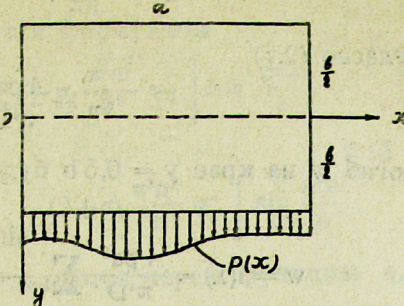
$$T_2 = 0; S = 0 \text{ при } y = -\frac{b}{2}$$

Решение этой задачи приведено в курсе П. Ф. Папковича [2]. Для  $T_2$  получается следующее решение

$$T_2 = \sum \gamma_n \varphi_n(y) \sin \frac{n\pi x}{a}, \quad 2.2$$

где  $\gamma_n$  — коэффициенты ряда

$$p(x) = \sum \gamma_n \sin \frac{n\pi x}{a}, \quad 2.3$$



Черт. 2.

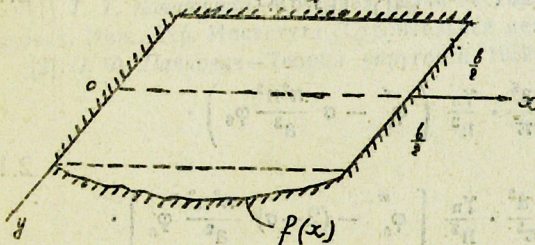
а через  $\varphi_n(y)$  обозначена функция  $\left( \alpha_n = \frac{n\pi}{a}, \lambda_n = \frac{n\pi b}{2a} \right)$ :

$$\varphi_n(y) = \frac{(\operatorname{sh} \lambda_n + \lambda_n \operatorname{ch} \lambda_n) \operatorname{ch} \alpha_n y - \alpha_n y \operatorname{sh} \lambda_n \operatorname{sh} \alpha_n y}{\operatorname{sh} 2\lambda_n + 2\lambda_n} + \\ + \frac{(\operatorname{ch} \lambda_n + \lambda_n \operatorname{sh} \lambda_n) \operatorname{sh} \alpha_n y - 2\alpha_n y \operatorname{ch} \lambda_n \operatorname{ch} \alpha_n y}{\operatorname{sh} 2\lambda_n - 2\lambda_n} \quad 2.4$$

Этой плоской задаче соответствует задача об изгибе пластинки (черт. 3), свободно опертой на краях  $x=0$ ,  $x=a$  и защемленной на краях  $y=\pm 0,5 b$ , когда краю  $y=0,5 b$  сообщается перемещение

$$w = f(x) = \sum \beta_n \sin \frac{n\pi x}{a}. \quad 2.5$$

На основании (1.31) (выражения для  $w_n$ ), для прогиба  $w$  в произвольной точке пластинки получается решение



Черт. 3.

$$w = \sum \beta_n \varphi_n(y) \sin \frac{n\pi x}{a}, \quad 2.6$$

причем между коэффициентами  $\beta_n$  и  $\gamma_n$  имеется зависимость

$$\beta_n = \frac{a^3}{\pi^3 D} \cdot \frac{\gamma_n}{n^2} \dots \quad 2.7$$

Таким образом, из решения (2.2) автоматически можно составить решение (2.6), для этого нужно коэффициенты  $\gamma_n$  заменить коэффициентами  $\beta_n$  по формуле (2.7).

При  $p(x) = p = \text{const}$  имеем;

$$\gamma_n = \frac{4p}{\pi n} (n = 1, 3, 5 \dots). \quad 2.8$$

Согласно (2.7)

$$\beta_n = \frac{4pa^3}{\pi^4 D} \cdot \frac{1}{n^3}. \quad 2.8$$

Прогиб  $w$  на крае  $y = 0,5b$  будет

$$w = f(x) = \frac{4pa^3}{\pi^4 D} \sum_{1,3,5} \frac{\sin \frac{\pi x}{a}}{n^3} = \frac{pa}{2\pi D} x(a-x). \quad 2.10$$

Следовательно распределение усилий  $T_2$  в пластинке, вызванное постоянной растягивающей нагрузкой  $T_2 = p$ , приложенной на крае  $y = 0,5b$ , будет аналогично распределению перемещения  $w$ , вызванного от прогиба края  $y = 0,5b$  по параболическому закону (2.10).

В заключение статьи заметим, что, пользуясь соотношениями (1.31), в некоторых случаях можно процесс интегрирования заменить процессом дифференцирования. Так, например, для рассмотренного выше примера П. Ф. Папкович дает формулы только для напряжений  $X_x, Y_y = \frac{1}{\delta} \cdot T_2$  и  $X_y$ , а для перемещений  $U$  и  $V$  он формул не дает.

Обычный путь определения перемещений по заданным напряжениям приводит нас к процессу интегрирования. Соотношения же (1.31) нам дают:

$$U_n = -\frac{1}{E\delta} \cdot \frac{1}{n} M_{2n}, \quad 2.11$$

$$V_n = \frac{a}{\pi E\delta} \cdot \frac{1}{n^2} Q_{2n}.$$

Из (2.6) и (2.27) следует, что

$$w_n = \beta_n \varphi_6(y) = \frac{a^3}{\pi^3 D} \cdot \frac{\gamma_n}{n^2} \varphi_6(y). \quad 2.12$$

Отсюда находим

$$M_{2n} = -\frac{a^3}{\pi^3} \cdot \frac{\gamma_n}{n^2} \left( \varphi_6'' - \sigma \frac{\pi^2 n^2}{a^2} \varphi_6' \right), \quad 2.13$$

$$Q_{2n} = -\frac{a^3}{\pi^3} \cdot \frac{\gamma_n}{n^2} \left[ \varphi_6''' - (2-\sigma) \frac{\pi^2 n^2}{a^2} \varphi_6' \right].$$

Заменив в (2.13) знак коэффициента Пуассона на обратный и подставив их в (2.11), получим:

$$U_n' = \frac{a^3}{\pi^3 E\delta} \cdot \frac{\gamma_n}{n^3} \left[ \varphi_6'' + \sigma \frac{\pi^2 n^2}{a^2} \varphi_6' \right], \quad 2.14$$

$$V_n = - \frac{a^4}{\pi^4 E \delta} \cdot \frac{\gamma_n}{n^4} \left[ \varphi_n''' - (2+\sigma) \frac{\pi^2 n^2}{a^2} \varphi_n' \right]. \quad 2.14$$

Перемещения  $U$  и  $V$  теперь определяются формулами

$$u = \sum u_n \cos \frac{n\pi x}{a} = \frac{a^3}{\pi^3 E \delta} \sum \frac{\gamma_n}{n^3} \left[ \varphi_n'' + \sigma \frac{\pi^2 a^2}{n^2} \varphi_n' \right] \cos \frac{n\pi x}{a},$$

$$v = \sum V_n \sin \frac{n\pi x}{a} = - \frac{a^4}{\pi^4 E \delta} \sum \frac{\gamma_n}{n^4} \left[ \varphi_n''' - (2+\sigma) \frac{\pi^2 n^2}{a^2} \varphi_n' \right] \sin \frac{n\pi x}{a}. \quad 2.15$$

Как видно из (2.15), перемещения определяются через функцию  $\varphi_n$  и ее производные.

### В. В. ИСАЕВСКИЙ

**ՈՒՂՂԱՆԿՅՈՒՆ ՍԱԼԵՐԻ ԾՈՄԱՆ ԵՎ ՀԱՐԹ-ԼԱՐՎԱԾԱՅԻՆ ՎԻՃԱԿԻ  
ԽՆԴԻՐՆԵՐԻ ՄԵԶ ԳՈՅՈՒԹՅՈՒՆԻ ՈՒՆԵՑՈՂ ՄԻ ՔԱՆԻ  
ԱՆԱԼՈԳՆԵՐԻ ՄԱՍԻՆ**

### Ա. մ փ ո փ ու մ

Աշխատանքի մեջ ցույց են տրվում մի քանի անալոգներ, որոնք գոյություն ունեն սալերի ծոման և նրանց հարթ-լարվածային վիճակի խընդիրների միջև։ Այդ անալոգները արտահայտվում են (1.30) և (1.31) բանաձևով, որոնք կապ են ստեղծում երկու տարրեր խնդիրների մեջ մտնող հաշվարկային մեծությունների միջև։ Ցույց է տրվում, որ կարելի է կազմել սալի ծոման խնդրի լուծումը, եթե հայտնի է համապատասխան հարթ խնդրի լուծումը, և հակառակը։ Անալոգների օգտագործման կարգը ցույց տալու համար դիտվում է կոնկրետ խնդիր։

### ЛИТЕРАТУРА — ԳՐԱԿԱՆՈՒԹՅՈՒՆ

[1] Т. Т. Хачатуян—Круговая балка на упругом основании. Сборник трудов Московск. Инж. Стр. Института (Строительная механика) № 2, 1939 г.

[2] П. Ф. Папкович—Теория упругости, 1939 г., стр. 434.

Поступило  
16 II 1949